

Podemos escribir, para tener continuidad en  $G_D$

$$c_l(r) = D_l \left( r_{<}^l - \frac{\partial^{2l+1}}{r_{<}^{2l+1}} \right) \left( \frac{1}{r_{>}^{l+1}} - \frac{r_{>}^l}{b^{2l+1}} \right)$$

que hace al problema simétrico en  $r, r'$ . Falta determinar  $D$ : pedimos

$$-\frac{\partial G_D}{\partial r} \Big|_{r'+} + \frac{\partial G_D}{\partial r} \Big|_{r'-} = 4\pi\sigma$$

$$4\pi \sum_{lm} \left[ -\frac{dc_l}{dr} \Big|_{r'+} + \frac{dc_l}{dr} \Big|_{r'-} \right] Y_{lm}^*(\theta\phi') Y_{lm}(\theta\phi) = \frac{4\pi}{r'^2} \sum_{lm} Y_{lm}^*(\theta\phi') Y_{lm}(\theta\phi)$$

$$\Rightarrow -\frac{dc_l}{dr} \Big|_{r'+} + \frac{dc_l}{dr} \Big|_{r'-} = \frac{1}{r'^2}$$

y reemplazando

$$\frac{1}{r^{l+2}} = D_l \left[ - \left( r'^l - \frac{a^{2l+1}}{r'^{l+1}} \right) \left( - \frac{l+1}{r'^{l+2}} - \frac{l r'^{l-1}}{b^{2l+1}} \right) + \left( l r'^{l-1} + \frac{(l+1)a^{2l+1}}{r'^{l+2}} \right) \left( \frac{1}{r'^{l+1}} - \frac{r'^l}{b^{2l+1}} \right) \right]$$

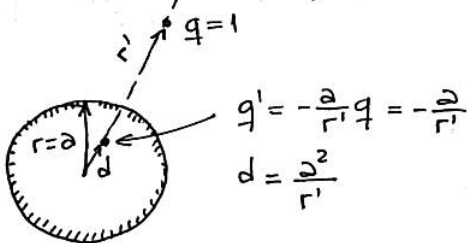
$$\Rightarrow D_l \left[ \frac{l+1}{r'^{l+2}} - \left( \frac{a}{b} \right)^{2l+1} \frac{l}{r'^{l+2}} + \frac{l}{r'^{l+2}} - \left( \frac{a}{b} \right)^{2l+1} \frac{l+1}{r'^{l+2}} \right] = \frac{1}{r'^{l+2}}$$

$$y \quad D_l = \frac{1}{(2l+1) \left[ 1 - \left( \frac{a}{b} \right)^{2l+1} \right]}$$

$$G_D(\underline{r}, \underline{r}') = 4\pi \sum_{l,m} \frac{1}{(2l+1) \left[ 1 - \left( \frac{a}{b} \right)^{2l+1} \right]} \left( \frac{r'_<^l - \frac{a^{2l+1}}{r'_<^{l+1}}}{r'_>^l} \right) \left( \frac{1}{r'_>^{l+1}} - \frac{r'_>^l}{b^{2l+1}} \right) Y_{lm}^*(\theta\phi') Y_{lm}(\theta\phi)$$

Veamos el límite  $b \rightarrow \infty$

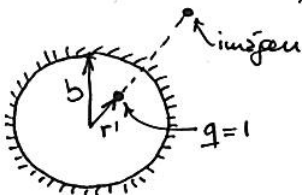
$$G_D(\underline{r}, \underline{r}') = 4\pi \sum_{l,m} \frac{1}{2l+1} \left[ \frac{r'_<^l}{r'_>^{l+1}} - \frac{1}{a} \left( \frac{a^2}{r r'} \right)^{l+1} \right] Y_{lm}^*(\theta\phi') Y_{lm}(\theta\phi)$$



es la imagen de una carga puntual en la esfera de radio  $a$  ( $q=1$ )

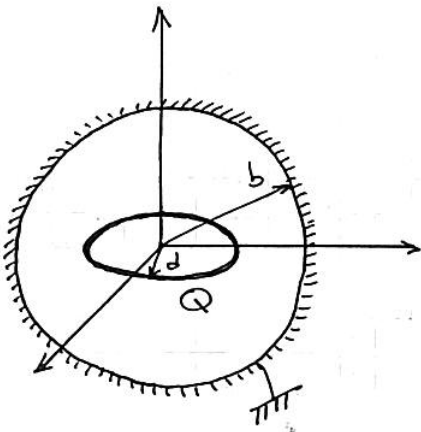
y en el límite  $a \rightarrow 0$

$$G_D(\underline{r}, \underline{r}') = 4\pi \sum_{l,m} \frac{1}{2l+1} \left[ \frac{r'_<^l}{r'_>^{l+1}} - \frac{1}{b} \left( \frac{r r'}{b^2} \right)^{l+1} \right] Y_{lm}^*(\theta\phi') Y_{lm}(\theta\phi)$$



es la imagen de la carga puntual ( $q=1$ ) interior a la esfera de radio  $b$

Ejemplo: usemos esto para resolver el problema de un anillo con carga  $q$  en el interior de una esfera



Tenemos  $\varphi|_s = 0$

$$\Rightarrow \varphi(r) = \int_V \rho(r') G_D(r, r') dV' + \frac{1}{4\pi} \int_{S(V)} \frac{\partial G_D(r, r')}{\partial n} \varphi(r') ds' \underset{=0}{}$$

Escribamos  $\rho(r')$

$$\rho(r') = \hat{c} \delta(r'-d) \frac{\delta(\theta'-\pi/2)}{\sin\theta'} \quad \text{tp} \quad \int \rho(r') dV' = Q$$

$$\Rightarrow \rho(r') = \frac{Q}{2\pi d^2} \delta(r'-d) \frac{\delta(\theta'-\pi/2)}{\sin\theta'}$$

Wego  $\varphi(r) = \frac{Q}{2\pi d^2} \int \delta(r'-d) \frac{\delta(\theta'-\pi/2)}{\sin\theta'} 4\pi \sum_{lm} \frac{1}{2l+1} \left[ \frac{r_c^l}{r_s^{l+1}} - \frac{1}{b} \left( \frac{r r'}{b^2} \right)^l \right] Y_{lm}^*(\theta', \phi') Y_{lm}(\theta, \phi) r'^2 \sin\theta' dr' d\theta' d\phi'$

Solo sobreviven los términos con  $m=0$

$$\Rightarrow \varphi(r) = \frac{2\pi Q}{2\pi d^2} \sum_l \frac{4\pi}{2l+1} Y_{l0}^*\left(\frac{\pi}{2}, \phi'\right) Y_{l0}(\theta, \phi) \Gamma_c^l \left( \frac{1}{r_s^{l+1}} - \frac{r_s^l}{b^{2l+1}} \right)$$

donde ahora  $r_s = \max\{r, d\}$

$r_c = \min\{r, d\}$

Usando

$$Y_{l0}(\theta, \phi) = \sqrt{\frac{2l+1}{4\pi}} P_l(\cos\theta)$$

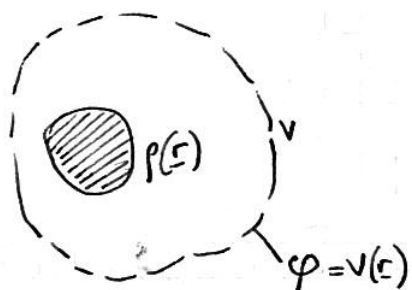
$$\Rightarrow \varphi(r) = Q \sum_l P_l(0) P_l(\cos\theta) \Gamma_c^l \left( \frac{1}{r_s^{l+1}} - \frac{r_s^l}{b^{2l+1}} \right)$$

y usando que  $P_{2n}(0) = \frac{(-1)^n (2n-1)!!}{2^n n!}$

$$\gamma \quad P_{2n+1}(0) = 0$$

$$\Rightarrow \varphi(r) = Q \sum_{n=0}^{\infty} \frac{(-1)^n (2n-1)!!}{2^n n!} P_{2n}(\cos\theta) \Gamma_c^{2n} \left( \frac{1}{r_s^{2n+1}} - \frac{r_s^{2n}}{b^{4n+1}} \right)$$

## Método de imágenes



Tenemos  $\rho(r)$  en  $V$  y conocemos el valor de  $\varphi$  en la sup. que encierra a  $V$ . Escribimos

$$\varphi = \int \frac{\rho(r')}{|r-r'|} dv' + \varphi'$$

$$\begin{cases} \nabla^2 \varphi' \Big|_{r \in V} = 0 \\ \varphi \Big|_S = v(r) = \int \frac{\rho(r')}{|r-r'|} dv' \Big|_S + \varphi' \Big|_S \end{cases}$$

$\Rightarrow \varphi'$  en  $V$  está determinado unívocamente pidiendo

$$\begin{cases} \nabla^2 \varphi' = 0 \\ \varphi' \Big|_S = v(r) - \int \frac{\rho(r') dv'}{|r-r'|} \Big|_S \end{cases}$$

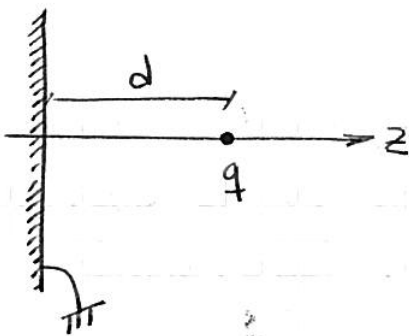
Un candidato es una función de la forma

$$\varphi'(r) = \int \frac{\rho(r')}{|r-r'|} dv'$$

con  $\rho(r') \neq 0$  afuera de  $V$ , y  $\nabla^2$  satisfaga la cdc. para  $\varphi' \Big|_S$ .

Notar que lo pedido no define unívocamente  $\rho(r)$  afuera de  $V$ . Sin embargo, por los teo. de existencia y unicidad de sol., una vez encontrada  $\varphi$   $\nabla^2$  satisfaga las cdc., la sol. es única (en  $V$ ).

## Carga puntual frente a un plano infinito conductor



Pongamos  $\rho$  en  $z > 0$   
sabiendo que

$$\begin{cases} \varphi(z=0) = 0 \\ \varphi \xrightarrow{r \rightarrow \infty} 0 \end{cases}$$

Nos olvidamos del conductor

y tomamos

$$\varphi(r) = \frac{q}{|r-d\hat{z}|} + \underbrace{\frac{q_{im}}{|r-r'_{im}|}}_{\text{candidato para } \varphi'} \quad \text{para } z > 0$$

con  $r'_{im}$  en  $z < 0$ . Debe satisfacer

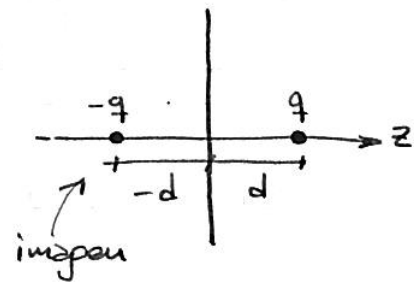
$$\varphi|_s = 0 = \frac{q}{\sqrt{x^2 + y^2 + (0-d)^2}} + \frac{q_{im}}{\sqrt{(x-x_{im})^2 + (y-y_{im})^2 + (0-z_{im})^2}}$$

$\Rightarrow$  tomamos

$$q_{im} = -q$$

$$x_{im} = y_{im} = 0$$

$$z_{im} = -d$$



La solución en todo el espacio es

$$\varphi(r) = \begin{cases} \frac{q}{|r-d\hat{z}|} - \frac{q}{|r+d\hat{z}|} & z > 0 \\ 0 & z < 0 \end{cases}$$

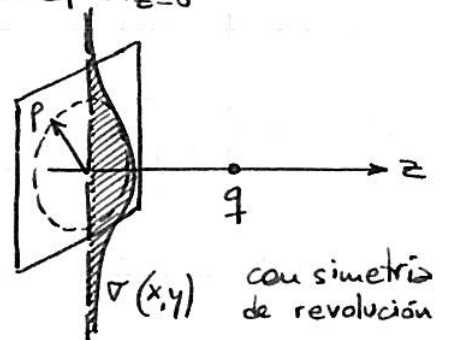
y conociendo  $\varphi$  en todo el espacio podemos hallar la verdadera distribución de cargas en la superficie:

$$4\pi\sigma = \hat{n} \cdot (\epsilon_2 - \epsilon_1) \Big|_{z=0} = - \frac{\partial\phi}{\partial z} \Big|_{z=0}$$

$$\Rightarrow \boxed{\sigma = - \frac{1}{4\pi} \frac{\partial\phi}{\partial z} \Big|_{z=0}}$$

Wepo  $\sigma(x,y) = - \frac{1}{4\pi} \left( - \frac{q(z-d)}{|\underline{r}-d\hat{z}|^3} + \frac{q(z+d)}{|\underline{r}+d\hat{z}|^3} \right) \Big|_{z=0}$

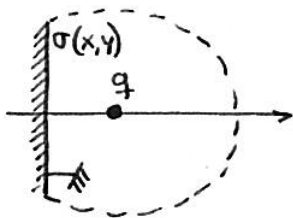
$$\boxed{\sigma(x,y) = - \frac{1}{4\pi} \frac{2qd}{(x^2+y^2+d^2)^{3/2}}}$$



Se puede ver que la carga inducida satisface

$$Q_{ind} = \int \sigma(x,y) dx dy = -q$$

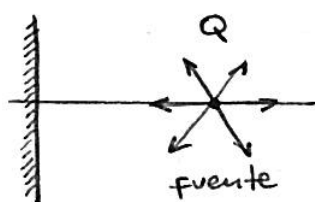
O bien, tomando Gauss



$$4\pi Q_{enc} = \oint \underline{E} \cdot d\underline{S} = \int_{conductor} \underline{E} \cdot d\underline{S} + \int_{sup} \underline{E} \cdot d\underline{S} = 0$$

$E \rightarrow 1/r^3$   
 $dS \rightarrow r^2$   
 $\Rightarrow$  tiende a cero

Notar que la imagen depende de las cdc. Para un fluido en 2D



$$\begin{cases} \nabla \cdot \underline{u} = 0 & (\text{excepto en la pos. de la fuente}) \\ \nabla \times \underline{u} = 0 \end{cases}$$

$$\boxed{\nabla^2 \phi = 0}$$

$$\Rightarrow \underline{u} = \nabla \phi \quad \text{y la cdc es}$$

$$\underline{u} \cdot \hat{n} \Big|_s = \frac{\partial\phi}{\partial z} \Big|_s = 0$$

